УДК 546.736

## Л. С. ИВАШКЕВИЧ, А. С. ЛЯХОВ

# РЕНТГЕНОСТРУКТУРНОЕ ИССЛЕДОВАНИЕ СВЕРХСТРУКТУР ПОЛИФОСФАТОВ $M(PO_3)_3-C$ МЕТОДОМ ПОРОШКОВОЙ ДИФРАКТОМЕТРИИ

Кристаллическая структура веществ, как правило, определяется дифракционными методами на монокристаллах. Однако в тех случаях, когда вещества доступны только в поликристаллическом виде, метод порошковой дифрактометрии, несмотря на свою сложность, не имеет альтернативы. В эту категорию часто попадают вещества, важные для разработки новых технологий, для получения новых материалов и др., что обусловливает развитие структурного анализа поликристаллов и расширение границ его применения.

В настоящее время предпринимаются попытки использования метода порошковой дифрактометрии для определения все более сложных кристаллических структур. В частности, достигнуты определенные успехи в изучении структур низкой симметрии, содержащих большое число атомов в асимметрической ячейке. Достаточно сложными для структурного исследования являются также сверхструктуры, которые характеризуются специфической упаковкой атомов в кристалле, обусловливающей определенные трудности даже для рентгеноструктурного анализа на монокристаллах. Исследования сверхструктур порошковым методом весьма немногочисленны [1].

Настоящая работа посвящена изучению возможностей метода порошковой рентгенографии при исследовании сверхструктур фосфатов металлов — полифосфатов трехвалентных металлов  $M(PO_3)_3$  структурного типа C. В литературе отсутствуют сведения об определении их структуры порошковым методом, однако структура некоторых представителей ряда  $M(PO_3)_3$ —C изучена с использованием монокристаллов (см. работу [2] и ссылки в ней). Наличие этой структурной информации является благоприятным обстоятельством для изучения возможностей метода порошковой дифрактометрии.

Для решения поставленной задачи нами использовано моделирование порошковых рентгенограмм для одного из представителей полифосфатов структурного типа C, а именно —  $In(PO_3)_3$ , для которого базовая структура и сверхструктура изучены в работах [3] и [4] соответственно. Обе структуры принадлежат к пр. гр. Cc и имеют следующие параметры элементарных ячеек: a=13,55(2), b=6,538(1), c=10,894(5) Å,  $\beta=135,03(9)^\circ$ , V=682,07 ų, Z=4 (базовая структура [3]); a=13,545(6), b=19,603(7), c=9,672(4) Å,  $\beta=127,196(4)^\circ$ , V=2045,70 ų, Z=12 (сверхструктура [4]).

## МЕТОДИКА ИССЛЕДОВАНИЯ

**Моделирование порошковой рентгенограммы.** Моделирование рентгенограмм базовой структуры и сверхструктуры  $In(PO_3)_3$  проведено с помощью программы FULLPROF [5] при использовании структурных данных [3] и [4] соответственно. Ввиду различного выбора осей a и c в работах [3] и [4], в базовой структуре и сверхструктуре направления полифосфатных цепей не совпада-

ют. В целях удобства сопоставления обеих структур нами сделано преобразование ячейки базовой структуры согласно матричному соотношению

$$\begin{pmatrix} a' \\ b' \\ c' \end{pmatrix} = \begin{pmatrix} -1 & 0 & 0 \\ 0 & -1 & 0 \\ 1 & 0 & 1 \end{pmatrix} \begin{pmatrix} a \\ b \\ c \end{pmatrix},$$
 (1)

где a', b', c' — параметры элементарной ячейки после преобразования осей. В результате были получены следующие параметры элементарной ячейки:  $a'=13,55(2),\ b'=6,538(1),\ c'=9,665(5)$  Å,  $\beta'=127,19(9)^\circ$ . Соответствующим образом были преобразованы также координаты атомов базовой структуры. В новой ячейке полифосфатные цепи направлены вдоль оси c, т. е. как и в сверхструктуре в работе [4]. Следует отметить, что переход к новой ячейке требует использования пространственной группы Cn.

Моделирование рентгенограмм осуществлено для  $\mathrm{Cu}K\alpha$  излучения в области углов рассеяния  $2\theta=5$ — $90^\circ$ . Поляризационный фактор введен для случая фильтрации излучения, однако компонент  $K\alpha_2$  в модель рассеяния не вводился. Использовалась функция профиля рефлекса pseudo-Voigt с коэффициентом смешения  $\gamma=0,5$ . Параметры полуширины профиля U,V,W приняты равными 0,05,-0,03 и 0,02 соответственно. Фон вводился как произвольная линейная функция. Асимметрия профиля не вводилась. При моделировании рентгенограмм использовались значения масштабных множителей, которые обеспечивали различную статистику счета квантов рентгеновского излучения  $(0,02 < R_{\rm exp} < 0,06)$ .

Для максимального приближения модельных рентгенограмм к реальным был симулирован «случайный шум». Данная симуляция осуществлена при использовании процедуры генерации случайных чисел в коридоре  $N \pm \sigma(N)$ , определяемом случайной ошибкой для числа квантов излучения  $\sigma(N) = \frac{1}{\sqrt{N}}$ .

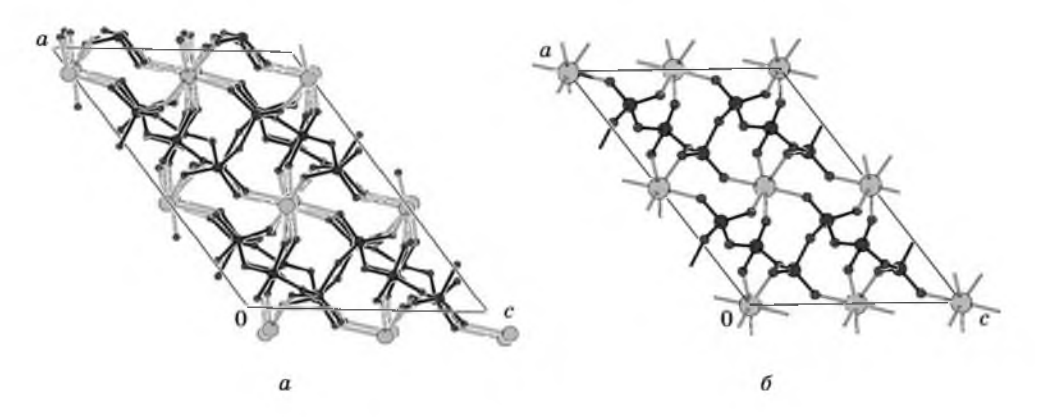
Определение структурных параметров. Модельная рентгенограмма сверхструктуры  $In(PO_3)_3$  была использована для изучения возможности метода рентгеноструктурного анализа поликристаллов при исследовании полифосфатов структурного типа C с утроенной ячейкой. C этой целью был осуществлен полнопрофильный анализ [6] сверхструктуры  $In(PO_3)_3$  с использованием программы FULLPROF. В качестве начальных значений координат атомов и их тепловых параметров использованы данные работы [4], которые, однако, были несколько изменены для приближения процесса уточнения к реальной ситуации (например, когда в качестве начального приближения используются данные другого изоструктурного соединения).

Уточнение структуры проводилось в условиях введения «мягких ограничений» («soft restrains»), налагаемых на длины связей Р—О полифосфатных цепей, с использованием результатов статистического анализа для большого числа полифосфатов [7]. Необходимость использования «мягких ограничений» обусловлена большим числом атомов в элементарной ячейке сверхструктуры (39 атомов).

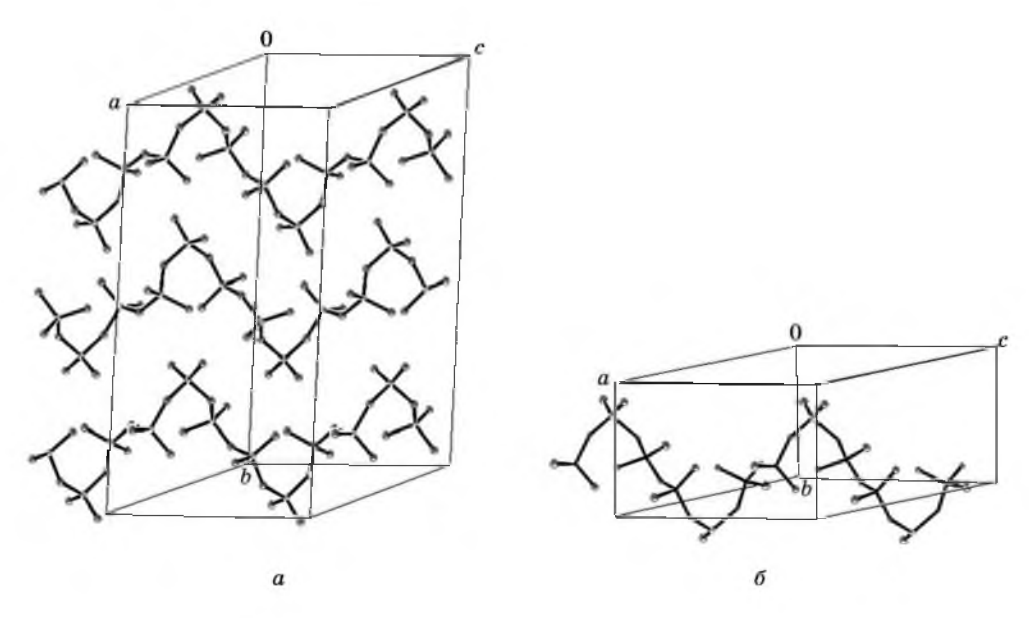
Молекулярная графика выполнена с помощью программ ORTEP-3 [8] и PLATON [9].

## РЕЗУЛЬТАТЫ И ОБСУЖДЕНИЕ

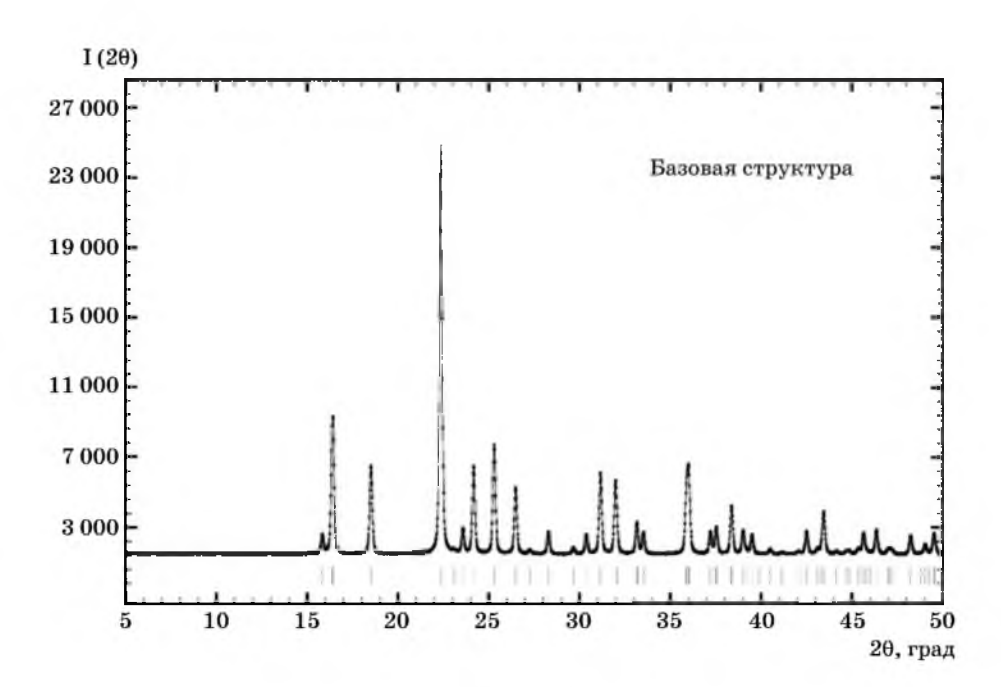
В обеих структурах  $In(PO_3)_3$  параметры элементарных ячеек a, c и  $\beta$  практически одинаковы, однако параметр b в сверхструктуре в три раза превышает таковой в базовой структуре. При этом отчетливо прослеживается близкое сходство двух структур (рис. 1, 2). Их главное отличие состоит в том, что в базовой структуре элементарную ячейку пересекают две полифосфатные цепи, а в сверхструктуре — шесть (за счет утроения параметра ячейки b).



 $Puc.\ 1.\ Проекция\ кристаллической структуры\ In(PO_3)_3$  вдоль оси b: a — сверхструктура [4],  $\delta$  — базовая структура [3]



 $Puc.\ 2.\$ Полифосфатные цепи  $(PO_3)_n$  в кристаллической структуре  $In(PO_3)_3$ : a — в сверхструктуре [4];  $\delta$  — в базовой структуре [3]



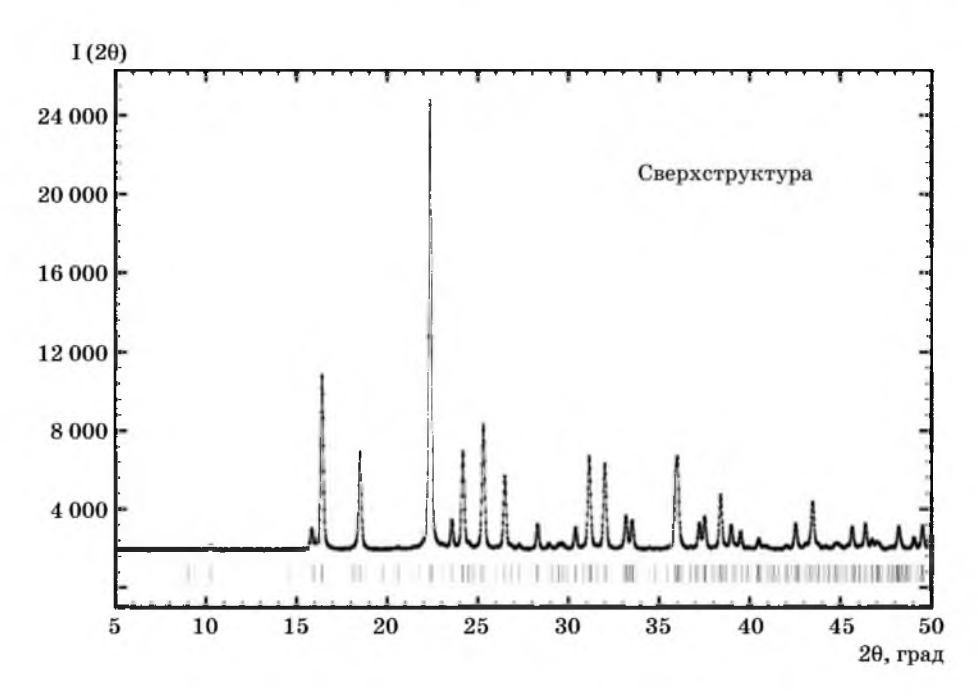


Рис. 3. Модельные рентгенограммы базовой структуры и сверхструктуры  $In(PO_3)_3$  в области углов рассеяния  $2\theta=5-50^\circ$  (Rexp≈0.02)

Сходство обеих структур обусловливает близкое сходство их рентгенограмм, что видно из рис. 3. В связи с этим важными являются следующие вопросы: 1) какие отличительные черты рентгенограммы сверхструктуры могут быть использованы для ее идентификации? 2) могут ли эти черты быть обнаружены на фоне «шума»?

Как показывает сопоставление рентгенограмм сверхструктуры и базовой структуры, такие отличительные черты в виде дополнительных (аналитических) рефлексов существуют и принципиально могут быть использованы для идентификации сверхструктуры (рис. 4). Однако следует отметить, что рентгенограммы, которым соответствуют значения фактора  $R_{\rm exp}>0.05$ , практически не могут быть использованы для этой цели. Это связано с недостаточной статистикой счета, не позволяющей обнаружить малоинтенсивные аналитические рефлексы на фоне «шума». Следовательно, сверхструктура может быть обнаружена только при использовании экспериментальных данных с хорошей статистикой счета.

Ответ на вопрос, позволяют ли порошковые данные определить структурные характеристики сверхструктуры, дают результаты полнопрофильного анализа. В целом процесс уточнения структуры в условиях использования «мягких ограничений» протекал без особых проблем и отличался хорошей сходимостью. Для полного уточнения структуры потребовалось 90 циклов. На рис. 5 показано монотонное уменьшение фактора рассогласования  $R_{\rm Bragg}$  в процессе уточнения. В результате сознательно искаженная нами структура приблизилась к реальной (табл.). Отметим, что при отказе от введения «мягких ограничений» процесс уточнения имел крайне неустойчивый характер.

Полученные результаты свидетельствуют о том, что использование порошковых данных позволяет получать структурные характеристики полифосфатов  $M(PO_3)_3$ —C с утроенной ячейкой методом полнопрофильного анализа. Однако точность их определения достаточно низка (табл.). Прежде всего, это обусловлено большим числом атомов в асимметрической ячейке и, как следствие, большим числом уточняемых параметров.

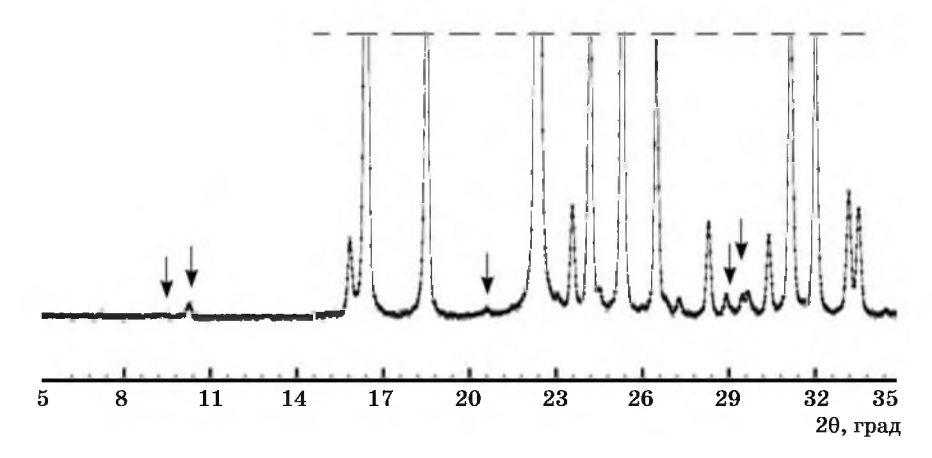
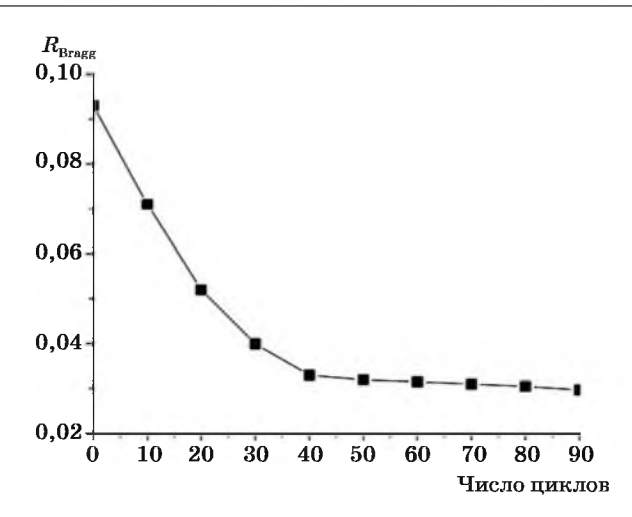


Рис. 4. Фрагмент рентгенограммы сверхструктуры  $In(PO_3)_3$  с указанием рефлексов, отсутствующих в базовой структуре (модель с  $R_{\rm exp} \approx 0.02$ )



Puc. 5. Фактор рассогласования  $R_{\text{Bragg}}$  на разных стадиях уточнения сверхструктуры  $\text{In}(\text{PO}_3)_3$ 

## Эволюция длин некоторых связей (A) в процессе уточнения сверхструктуры $In(PO_3)_3$ (N — число циклов уточнения)

Тип связи	N = 0	N = 90	Данные работы [4]
In—O	1,89—2,32	1,97(4)—2,24(4)	2,092(3)—2,141(4)
P—O <sub>moct</sub>	1,49—1,72	1,51(3)—1,62(3)	1,568(4)—1,603(4)
$P-O_{cp}$	1,38—1,62	1,45(6)—1,50(5)	1,470(3)—1,488(5)

 $\Pi$  р и м е ч а н и е.  $P-O_{\text{мост}}$  и  $P-O_{\text{ср}}$  — соответственно мостиковые и срединные связи P-O в полифосфатной цепи. Ввиду наличия в кристаллической структуре нескольких связей каждого типа, в таблице указан интервал значений длин связей.

Большое количество атомов — это значительная проблема в структурном анализе поликристаллов. Однако для сверхструктур существует возможность обойти эту проблему. Речь идет о возможности описания сверхструктуры в (3+n)-мерном пространстве — т. е. как модулированные структуры. Аппарат описания модулированных структур работает с «усредненной» (т. е. маленькой) ячейкой и тем самым позволяет уменьшить количество уточняемых параметров. Этот путь представляется наиболее перспективным для повышения точности определения структурных параметров сверхструктур порошковым методом.

## выводы

1. Используя моделирование порошковых рентгенограмм сверхструктуры и базовой структуры полифосфата индия  $In(PO_3)_3$ —C, изучена возможность порошкового метода для структурной характеризации сверхструктур  $M(PO_3)_3$ —C с утроенной ячейкой.

- 2. Установлено, что отличить рентгенограмму сверхструктуры от базовой структуры возможно только при статистике счета квантов рентгеновского излучения, соответствующей фактору  $R_{\rm exp} < 0.05$ .
- 3. Показано, что при введении «мягких ограничений» на длины связей P—О метод полнопрофильного анализа позволяет получать адекватные структурные характеристики сверхструктур  $M(PO_3)_3$ —C, однако точность их определения достаточно низка.
- 4. Точность определения структурных характеристик сверхструктур может быть повышена использованием аппарата описания их структуры в (3+n)-мерном пространстве (модулированные структуры).

#### ЛИТЕРАТУРА

- $1.\ {\rm Inorganic}\ {\rm Crystal}\ {\rm Structure}\ {\rm Database}\ ({\rm ICSD}):\ {\rm Fachinformationszentrum}\ ({\rm FIZ})\ {\rm Karlsruhe},\ 2007.$
- 2. Мурашова Е. В., Чудинова Н. Н., Илюхин А. Б. // Кристаллография. 2007. Т. 52. С. 229—232.
- 3. Палкина К. К., Максимова С. М., Чибискова Н. Т. и др. // Журн. структ. химии. 1993. Т. 38. С. 1270—1272.
- 4. Kan Zigui, Cheng Wendan, WuDongshenget al. // Jiegon Huaxue. 2005. Vol. 24. P. 1468—1475.
- 5. Rodriguez-Carvajal J. // Abstracts of the Satellite Meeting on Powder diffraction of the XV Congress of the IUCr. Toulouse, France, 1990. P. 127—132.
  - 6. Rietveld H. // J. Appl. Cryst. 1969. Vol. 2. P. 65-71.
- 7. Durif A. Crystal Chemistry of Condensed Phosphates. New York and London: Plenum Press. 1995. 408 p.
  - 8. Farrugia L. J. // J. Appl. Cryst. 1997. Vol. 30. P. 565-571.
  - 9. Spek A. L. // J. Appl. Cryst. 2003. Vol. 36. P. 7—13.

УДК 541.183.12

## Т. И. РАДКЕВИЧ, Н. А. САНКЕВИЧ, А. Н. ТРИФОНОВА, А. В. РАДКЕВИЧ, С. А. МЕЧКОВСКИЙ

## ПРОТОННЫЕ БАРЬЕРЫ В СИСТЕМАХ ВЫСОКОДИСПЕРСНЫЙ ФУНКЦИОНАЛЬНЫЙ ПОЛИМЕР — РАСТВОР ЭЛЕКТРОЛИТА

Расширение сферы применения природных и синтетических полифункциональных ионообменных материалов определяет необходимость разработки новых подходов в исследовании их свойств. При варьировании в широких пределах природы и концентрации сорбируемых компонентов, фоновых электролитов и кислотности среды существенно изменяется сорбционная способность этих материалов. Предсказуемость эффектов среды в системах такого рода ограничена. В связи с этим все большую значимость приобретает поиск методов, позволяющих с единых позиций оценивать наиболее существенные изменения характеристик сорбционных центров, степени